

目 录

1. 电站设备维护工作中所用堆焊合金的性能和作用	1
2. 汽轮机中的硬质堆焊	5
3. 水轮机的不锈钢堆焊	10
4. 堆焊修复内燃机的气缸衬套	14
5. 履带拖拉机支撑辊轴的自动耐磨损堆焊	16
6. 用堆焊修复起重轮	18
7. 主轴的环缝式堆焊	20
8. 轴类的自动堆焊和硬化	21
9. 轧辊堆焊的经验	23
10. 轧辊的自动堆焊	25
11. 多次堆焊对轧辊耐磨性的影响	27
12. 用带状焊条堆焊轧辊	31
13. 大型减速器轮圈的带状焊条自动堆焊	35
14. 轧辊孔型的靠模堆焊	38
15. 二氧化碳气体介质中自动堆焊的新工艺	42
16. 二氧化碳气体中的堆焊	46
17. ГАЗ-51 发动机曲轴的振动电弧堆焊	49
18. 电动机轴的振动电弧堆焊	54
19. 用振动电弧堆焊修复拖拉机零件	55
20. 熔剂层下振动电弧堆焊修复花键轴	58
21. 提高振动电弧堆焊的耐磨性和疲劳强度	62
22. 推土机的磨损与堆焊	66
23. 受磨损和冲击负荷的零件的堆焊	71
24. 耐空化堆焊法的研究	75
25. 汽车排气阀自动堆焊法的研究和制订	79
26. 等离子电弧堆焊	83

电站設備維护工作中所用堆焊合金的性能和作用

Otto Knotek

为了满足电站设备耐磨损的各种要求，可采用多种类型的金属进行堆焊。通常使这些金属能克服侵蚀、空化或纯机械性的磨损。通过应用堆焊，以最少的合金材料和劳动力的支出而能大量节约生产总费用，在比较工程设计的总成本或削减损耗方面，为电站的建造和维护工作提供了一个良好的范例。

本文试图陈述所用的各种堆焊材料的基本冶金原因。因为当研究新的问题时，仅凭实际试验的结果是不够的。在任何情况下，这种结果只有在完成试验的条件下才是有根据的，通常不可能适用于任何的情况。遗憾的是，迄今对这些基本原因的研究

很少重视，我们还是主要依靠代价高的实际使用所得的资料来认识这些材料的耐久性。

本文的研究范围仅限于高合金材料，例如用于堆焊电站发电设备、特别是水力发电设备的各种材料。这些材料的选择示于表1，包括铁素体和奥氏体以及硬质堆焊合金材料，其中某些合金中碳化物的含量往往很高。

众所周知，甚至在诸如化学影响等因素未予考虑的情况下（电站方面，此种因素通常会起重要的作用），堆焊合金的耐磨性不能依据硬度来确定。在工作过程中，金属晶体质量的实际成份和其整个组织所起的作用则甚为重要。

表1 堆焊用填充材料的标准分析

合金 序号	成 分 %								
	C	Si	Mn	Cr	W	Mo	Co	Ni	Ti
1	0.05~0.15	0.9~1.2	1.0~1.2	18.8~19.5	—	2.3~2.6	—	9.5~11.0	Ta/Nb 0.9~1.0
2	0.18	0.9	7	19	—	—	—	9	0.1
3	0.08	0.7	0.3	17	—	—	—	0.4	0.6
4	0.20	0.7	0.3	17.5	—	1.5	—	—	0.6
5	3.5	0.5	0.5	34	—	—	—	—	—
6	1.0	0.3	0.3	28	5	—	65	—	—

此外，在堆焊时，还有一种可变的因素，即在某种情况下，焊接过程本身能对堆焊层金属和基体金属的组织产生显著的影响，这一点将在下面予以论述。

金属合金的性能与其组织的关系如表2所示。除了合金的组织和最后性能之外，对于那些主要发生在表面的化学反应例如吸附、扩散等也应给予注意。固体的反应性能也能随着所受的机械加工程度而变化，因其产生的能量会使表面引起实际的影响。在Naeser的图表（图1）中证明了这一点，本文并就Smekal和Erdmann-Jesnitzer在这方面所完成的工作加以叙述。

至于表2中所列的作为金属材料组织的特性的各项，在讨论合金时成为主要的参考。

表2 金属材料的组织

金属的复合结晶体可由下列判定：

- (1) 含有的金属相；
- (2) 根据尺寸和形状的晶粒静态分布；
- (3) 晶粒（纹理的）晶格定向性的静态分布；
- (4) 各个相的晶格参数；
- (5) 晶粒经受的影响是：晶格变形是由于机械应力或化学的影响（与外来原子相结合，或者是发生超晶组织）所致；
- (6) 晶间表面的状态；
- (7) 显微的均质程度。

在项(1)中的金属相，只有Co-W-Cr-C四元系合金的组织尚待深入研究。除了这一组合外，表1中涉及的其余堆焊合金的转变和析出过程，通常

是可以識別的，而且能够列举出并加以解釋。

在研究項(2)和(3)所列的关系时，實踐的知識对那些未受焊接的金属也是可以利用的。但由于焊接过程中的迅速加热和冷却，在堆焊金属和基体金属之間經常发现有显著的差別。在多数的情况下，主要是取决于所含的合金，一般是不能用焊后热处理来矯正的。例如，硬质金属合金就是属于这种情况。此外，項(1)和(4)所列的那些相的外觀和成份，也能由于实际焊接过程中产生的不稳定平衡状态而改变。在堆焊金属中，列入項(2)中按尺寸和形状的晶粒靜态分布，主要是取决于結晶速度、晶核数量以及是否存在显著的过冷度。

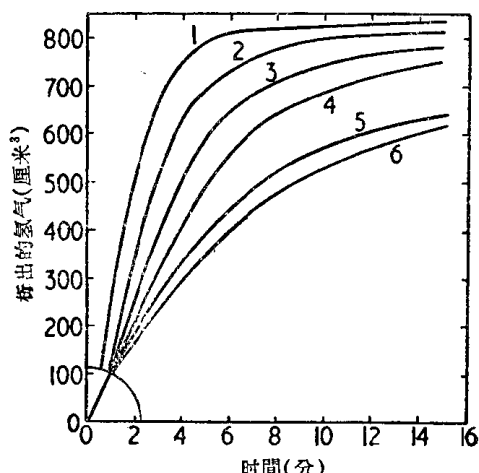


图1 在各种退火时间后，冷加工的鐵
粉末在标准盐酸中的溶解率

- 1—未經退火；
- 2—在900°C退火2分钟；
- 3—在950°C退火15小时；
- 4—在950°C退火30小时；
- 5—在950°C退火50小时；
- 6—在950°C退火100小时

表1中的第5号合金可作为上面已提及的2、3、4組合金耐磨損性的实例。这样的例子如，当基本成份相同的材料，由于在其制造过程或在焊接过程中有所差別时，就会有不同的状态。

图2中所列的各种焊条，如“Celsit”焊条一样，都是鑄造的，而“Celsint”焊条是一种具有第5号合金化学成份的燒結金属合金。图中表示了各个焊层的耐磨性，而最后一列，表示用鎢极氩弧焊接堆焊金属的耐磨性数值。与鑄造焊条的組織相比較，燒結焊条具有远较为細的晶粒組織。在焊接过程中，由于多数結晶晶核可能未达到熔点，故其細晶粒組織再产生于堆焊金属中。这种細的碳化物組織对硬质合金的耐磨性有着良好的效用，而其实际硬度也可改

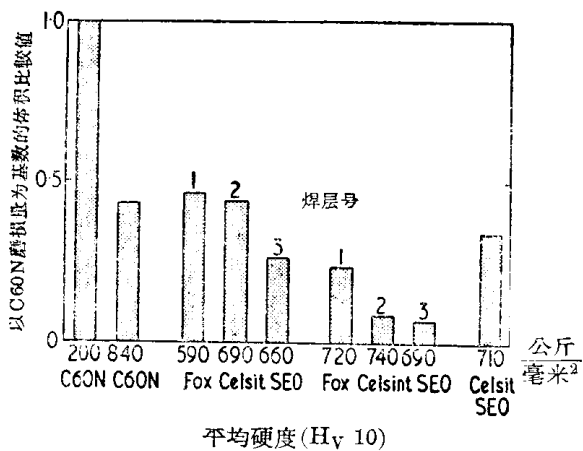


图2 硬质堆焊填充材料的耐磨性

善。

由于采用鎢极氩弧焊接过程时所具有的高温，可使熔深增大，有助于在基体金属与堆焊金属之間的牢固的結合。但在堆焊第5号合金时，可能形成共析体来代替所要求的坚硬的碳化物組織，致使耐磨性降低。正象图2中最后一列所示的那样，虽然采用化学分析相同的堆焊金属。結果耐磨性变坏了。关于堆焊合金的这种相同結論，也被Wellinger和Uetz所証实。图3就清楚地表明了这一点。



图3 用惰性气体金属极电弧焊接的
33% Cr 合金組織
(a) 碳化物 (b) 共析体

那些主要为抗机械性磨損的耐磨合金(第5和6号合金)的性能，是基于其組織塑性变形的成份(例如鈷)和嵌入的脆硬成份主要为碳化物(例如W、Cr的碳化物等)之間相互作用的原理。例如，純鈷的耐机械磨損性能远較嵌有鎢碳化物的鈷基合金为低。所以，碳化物的分布、大小和形状对最后性能有着显著的影响。

就WC-Co合金而論，如果与計算的成份有关的各个碳化物晶粒之間的平均自由路徑和其測定的

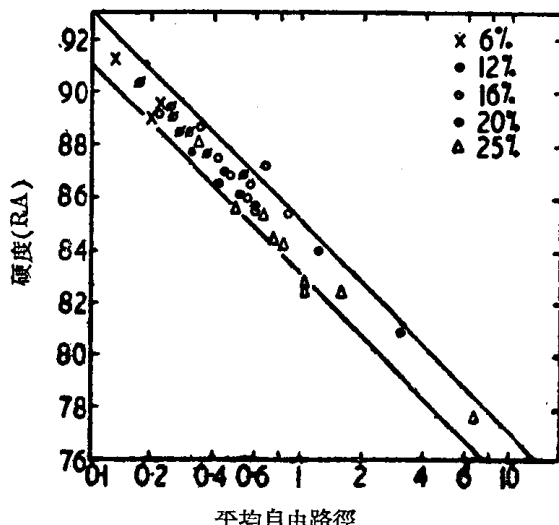


图 4 WC-Co 合金的硬度

硬度(图 4)相比就能看出,硬度 R_A 表示为其平均自由路徑对数的線性函数, 条帶的寬度由晶粒大小的变化来决定。

通过焊接而引起的金属組織的某些影响, 可归纳在表 2 的項(5)中, 首先应提及形成的应力、杂质(特別是那些由气相和基体金属表面所产生的杂质), 以及与項(6)联系着的晶間表面状态的影响, 尤其是与項(6)有关的在奧氏体鋼焊縫中热裂紋的产生也应予以注意。这并不意味着要去研究它們是否是由于晶界薄膜, 气体界层产生的, 抑或是由于晶粒的偏析和分凝所致, 而是要指出最近試驗已証实的第 2 号合金表現有最佳的抗热裂性。当然, 在温度超过 500°C 时, 其含錳量过高是不利的, 这会使抗氧化性降低。

倘若不計及到化学性的腐蝕損耗因素, 則純机械磨損取决于由各个晶粒的扩散、变形或晶粒的滑移、凝聚而产生的晶間表面变化。晶粒的凝聚是受晶間表面的純洁度影响的。

当然, 上述的这些因素可能同时发生。不难判断, 抗变形主要是与金属的塑性变形区有关, 而个别凝聚块的松散和破碎是与脆硬区有关。

换言之, 抗变形是取决于塑性变形相中凝聚面积的大小。根据 Büchle 的資料, 凝聚面积取为未破裂的面积, 其直徑等于錯位的位勢自由路徑。

被分解原子的析出和夹杂会产生阻碍的网络, 象晶粒边界的作用一样, 能影响抗变形的程度, 且其作用能超过业已存在的网络。同样, 例如奧氏体材料的冷加工也可能引起应力的网络。

晶粒边界的影响使其失去凝聚面积尺寸縮減的

比例关系。这一点已被与析出淬硬材料的穿透阻力有关試驗所証实。而且已可应用于流动阻力的情况。

当凝聚面积的尺寸縮减至錯位的尺寸时, 材料則成为脆硬状态, 而引起显著的碎裂。

对純奧氏体材料來說, 除了由于外来原子的夹杂、焊接时的染污和析出等因素外, 在某一温度范围内发生的冷变形也是一个重要的原因, 温度的实际范围取决于所含的合金。但是, 就硬质合金而論, 正如前已叙及, 抗变形的程度是受加入其中的硬质材料(碳化物)的比例所支配的。在这方面, 甚至通过适当地选择所用的合金, 也可能达到脆硬的状态, 但經驗表明, 例如含有少于 20% 塑性金属粘合剂的燒結硬质金属是难于焊接的, 故无实用价值。当其一开始使用时就能发生析出过程, 因而引起磨損性能的变化。

当然, 控制各个成份联合作用的考慮是可以应用于各个相态的, 因为堆焊表面的成份是由其有关的相形成的。由此看来, 应該对变形性能、空穴或其外来原子的夹杂(例如在碳化物的晶格中)的影响等予以重視, 但在这方面几乎没有完成任何研究工作。

事实上, 金属組織的各个組成对一定条件的不同形式的耐磨損作用是不一样的。但是, 某些組織的复合物(例如碳化物或碳化物的复合物)則能产生理想的結果。

这是因为与其所組成表面层的机械性能有关, 同时, 表面层的粘着力与其化学稳定性有关。例如, 在建造水电站时曾經發現, 如沸騰鋼制板料的耐侵蝕性和耐空化性比鎮靜鋼制板料为优。这是由于沸騰鋼晶粒分凝的結果所致, 板料的表面几乎是純鐵素体, 而其低熔点的成份是集中在内部中心。鎮靜鋼則不是这种情况, 其結構的成份是均匀地分布在整個板料內。

在碳化物方面, 有碳化鎢(WC) 对机械切削的反应和鉻碳化物在抵抗 SiO_2 的磨損情况下的反应。

如果堆焊工作完成得很滿意, 則如表 2 項(7)所列的无裂紋和气孔的均质程度, 通常是可以获得的。

但是, 堆焊金属中的其它变化也应予以考虑, 例如在焊接第 4 号合金时, 所受到的侵蝕是不規則的, 因为早先堆置的焊縫組織会被堆焊随后焊层时釋出的热量所影响, 而且在某一温度范围内, 正火处理会产生效果。

通常, 由于被磨料介质所磨損的晶体的流失也

应作为表面或接触面的能量問題处理，例如，尚存在的接触表面的能量以及当移去时所釋出能量的总和可认为是等于原先存在于表面和引入系統中能量的总和。但是，在目前尚未能当作一般規律在实践中采用，因为不可能依据数值来决定其所含的功能。

考慮耐磨性的可能性最少应取决于三个可变因素：

- (1) 反应产物的移去(根据产物的性质、耐磨性成为反应速率的函数)；
- (2) 由于形成晶体的机械分离(耐磨性=連系金属組織的力的函数，产生的能量也能被塑性变形所吸收)；
- (3) 包括扩散的磨损与磨料之間的反应(表面能量、集中流动和产生含热能量的耐磨函数)。

实际用例列于表 3 中。

結 論

假如选用适当的材料，并根据上述的指导原則有效地完成工作，那么应用表面堆焊不仅在修理工

(上接第 9 頁)

噴熔堆焊层和基体金属之間由扩散形成的金相接合在图 7b 中示出是一条白带，比氧炔焰堆焊所形成的要窄些，因合金只被加热到稍高于熔化温度。同样理由，噴熔堆焊层的組織是細得多，并且包含着相同尺寸均匀分布細渣微粒。

这些合金在現代过热蒸汽温度下的抗咬緊可能是由于具有高温潤滑性能氧化表面的形成，并且已有建議，如果在组件投入运行前将其在操作温度下氧化，就可改善运行情况。

汽輪机叶片的保护

当叶片尖端的速度超过 900 呎/分时，在蒸汽中的水滴会造成叶片邊緣侵蝕的傾向；这在大型冷凝式汽輪机排汽端的最后几級叶片內常常如此。

由鈷基合金保护片来提供防护，在大多数情况下被釺焊在鋼叶片上(見图 8)。

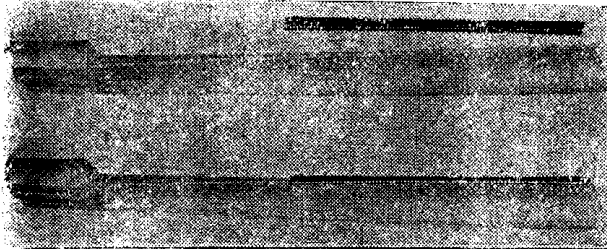


图 8 鑄造鈷合金保护层的汽輪机叶片

表 3 控制磨损的方法

型 式	A	B	C
矿物磨损	2	1	0
空 化	1	2	0
金属摩擦	2	2~0	1
机械切削	2~0	2	1
鎚击磨损	2~0	1	2

(根据所使用的介质)

1=主要的影响；2=次要的影响；0=无影响

作中，而且在新設備制造方面均能带来重大的改进。

例如，通过对以含有大量悬浮物水质推动的回轉叶式水輪机的数年觀測表明，用不銹鋼堆焊的焊縫涂敷的水輪机叶片比用不銹鋼薄板包复制造的更为經濟。这些經濟上的优越性部分地是由于堆焊的焊縫金属的侵蝕部分易于重新堆焊，而要修理用不銹鋼薄板材料包复制造的叶片则更加困难。

(陳德祿譯 張柏年校)

自《British Welding Journal》，No. 2, 1962, 79~82 頁

在夹具中进行釺焊，如果叶片邊緣是凹入的，保护片就放在叶片的最上面，以积聚熔融的釺焊合金。如果保护片是流綫型的，具有凹的釺焊表面，就可以放在叶片下面。用氧炔焰作快速加热，或者用高頻电流。最后輕輕加压以使保护片定位，但必須小心以避免挤出所有的焊錫。

在用失蜡模鑄成的保护片出現以前，有些叶片是取鈷基合金用氧炔焰被硬质堆焊而成。叶片用夹具固定在預先确定的位置，在堆焊后緩冷。然后将堆焊层磨削到与鋼叶片的形状一样。

叶片邊緣的噴熔工艺尚在发展中，在叶片的前邊緣上敷設一层光滑的薄硬质堆焊合金是沒有什么困难的。

結 論

过去二十年中出現了低压燃气輪机在航空器中的发展和广泛使用，其中在高温运行的组件不需承受高的气体压力，因而其結構是輕型的。

陆地上的汽輪机以增加压力和溫度向着較高热效率和功率的稳步发展前进。这就需要巨大的、其中只有操作表面需最大保护的抗压結構。因而就日益增加了硬质堆焊在这方面的作用。

(叶克武譯 張柏年校)

自《British Welding Journal》No. 5, 1962, 285~290 頁

汽輪机中的硬质堆焊

M. Ridinough

蒸汽輪机操作表面仅就温度因素而言，需要比一般輪机中采用的結構材料有較大的抗氧化性和抗擦伤性的金属；如加上速度因素，可能会造成严重的侵蝕。

現在运行温度对于汽輪机中采用的两个鐵素体鋼特性的影响問題，可由在这些温度下的其硬度和抗氧化性能表明。用該法檢查的鋼有一种氮化鋼(a)，一种通常用于閥杆的鉻不銹鋼(b)，以及一些典型的鈷基硬质堆焊合金。在运行中，閥杆在有适当傳动間隙的导向軸衬中操作，必須能抗氧化，因会造成直徑的增长和咬紧，它們必須有足够的硬度以免与导向軸衬接触部分的擦伤。

將試样在維氏硬度試驗机上用 20 公斤載荷，加載 8 秒，在 0.001~0.004 毫米水銀柱真空中試驗以确定溫度对这些材料硬度的影响。結果(图1)表明，当溫度达到 600°C，鋼的維氏硬度为 90~130，而鈷合金維氏硬度則为 230~300。

將試样在 600°C 的过热蒸汽中試驗以确定材料的抗氧化性，其結果列于表 2。鐵素体鋼的直徑和重量的增长与它們的硬度損失一并考慮时，表明它們在这些操作条件下已达到使用极限。数据証实了在蒸汽电站中用鈷基合金所得到的滿意經驗，由于其塑性低，可作为硬质堆焊层或者由适当的抗蠕变鋼支承的鑄件采用。

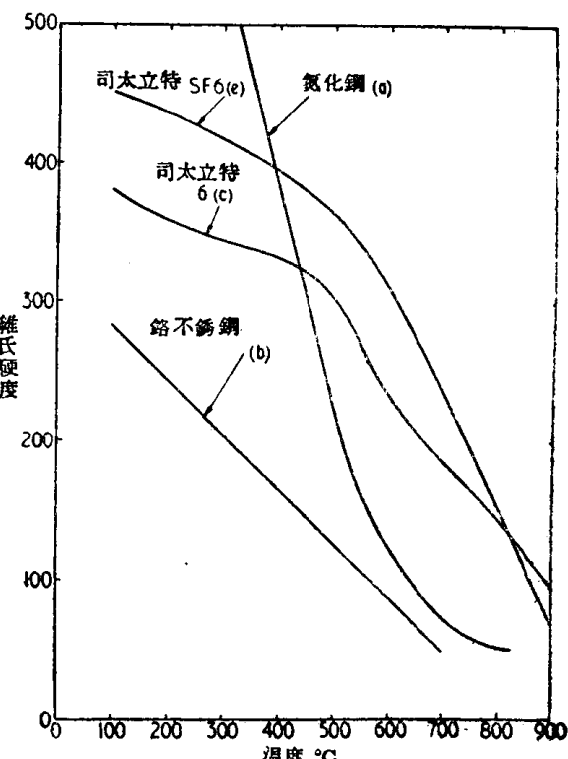


图 1 溫度对硬度的影响

最初硬质堆焊的蒸汽组件自然是侵蝕最严重的閥座，远在 1919 年前，戴費兰第取得了关于在蒸汽閥

表 1 試驗材料的成分

序号	种类	状态	表面硬度 (维氏硬度)	成 分 %						
				C	Cr	Fe	Co	Ni	W	
1	氮化钢(已氮化)	900°C 油淬 700°C 回火 1 小时。	974/1,150	0.3	1.6	其余	—	0.2	—	(Mo 0.2 Al 1.0
2	铬 不 锈 钢	1,150°C 油淬 690°C 回火 3 小时。	322/327	0.1	10.5	其余	—	0.6	—	(Mo 0.8 Nb 0.4 V 0.2
3	司太立特 6	铸造	400	1.0	26.0	2.5	其余	—	5.0	
4	司太立特 7	铸造	360	0.7	25.0	1.0	其余	—	7.0	
5	司太立特 SF6	喷熔	440	1.0	12.0	3.0	其余	13.0	8.0	(B 1.5 Si 2.5

表 2 流速(綫連)为 220 吋/分, 600°C 下的蒸
汽对直径 1/2 吋 × 11/8 吋試样的影响

合金 序号	种 类	直徑增长 (吋)		重量增长 (克)	
		100 小时后	200 小时后	100 小时后	200 小时后
1	氮化鋼(已氮化)	0.0021	0.0026	0.1080	0.0799
2	鉻不銹鋼	0.0010	0.0012	0.0163	0.0339
3	司太立特 7	0.0000	0.0000	0.0005	0.0010

座上堆焊硬质耐腐蚀合金的第 147256 号英国专利。这个方法在美国得到进一步发展，因而到 1930 年在高温高压蒸汽阀的阀座上用氧炔焰堆焊钴基合金已成为普通实践。今天，几乎所有的阀门都是这样硬质堆焊的。阀体出现了用抗蠕变合金钢后，硬质堆焊层并不焊到嵌入体而需要直接焊到阀体上，因而要进行金相计划和硬质堆焊操作的控制。

毛坯准备

在图 2 中列举了一个典型的双面阀座的阀门，并且也表明为硬质堆焊层用的详细机械加工准备。锻件在这阶段时的机械加工量最小，因而有足够的金属裕量以补偿去锈和在硬质堆焊过程中引起的变形。但是，定位而必须加工，最好能在堆焊用凹槽的邻近圆周表面上，使机械加工后保持堆焊层的均匀厚度。

在大型阀门上采用手工氧炔焊方法需要预热和焊后热处理。由于在高温下长时期停留，会造成氧

化皮，而焊接收缩会引起变形，因此在毛坯上必须留有足够的裕量。图 3 列出铁素体钢合适的典型裕量；奥氏体钢的氧化皮剥落和收缩量较少，这时的裕量可以降低 40%。

預 热

在图 2 中列出的阀门毛坯安放在由脚控制的齿轮减速器的驱动辊子上 (1 转/分)，并由耐火砖和石棉板围着。留出焊工在平焊位置操作所需的适当空擋，为焊工准备一个玻璃热屏障和坐位，以保证堆焊时的舒适，和堆焊的不停进行。用燃气—空气焰炬预热毛坯，时间长短以保证内外温度的均匀为度，而在这段时间中将阀体不停地旋转。硬质堆焊的操作过程如下：

1. 均匀预热毛坯至 300°C，
2. 一次连续堆焊好硬质堆焊合金。保持预热温度，
3. 重新熔化周围的堆焊层，保持预热温度，
4. 盖好，加热到 550~650°C 的均匀温度，
5. 缓冷至室温，
6. 装夹与原来凹槽同心，只加工硬质堆焊层，每面留出 0.010~0.015 吋 (在直径上为 0.020~0.030 吋) 的精加工裕量，
7. 用肉眼 (a) 和染料渗透法 (b) 检验，
8. 全部粗加工，
9. 在 650~750°C 下去除内应力，
10. 按图纸精加工。

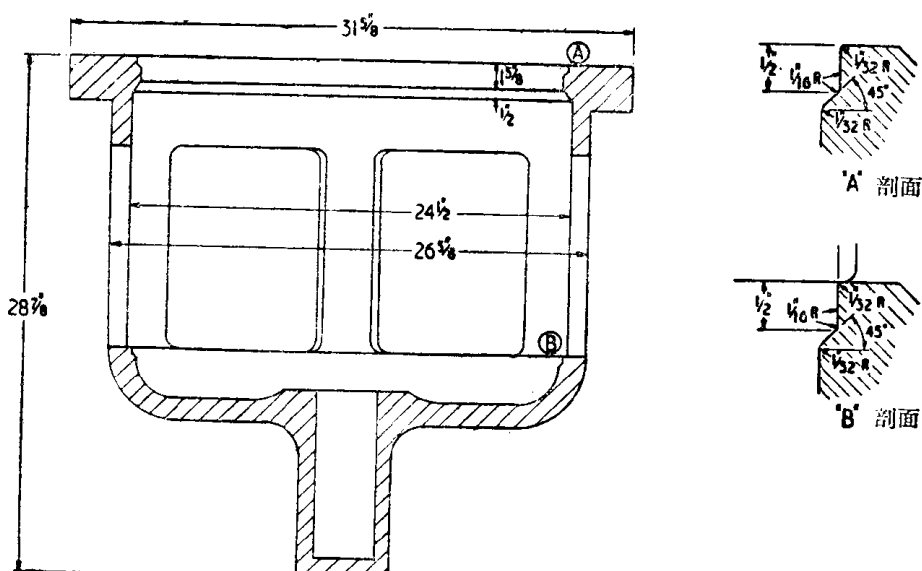
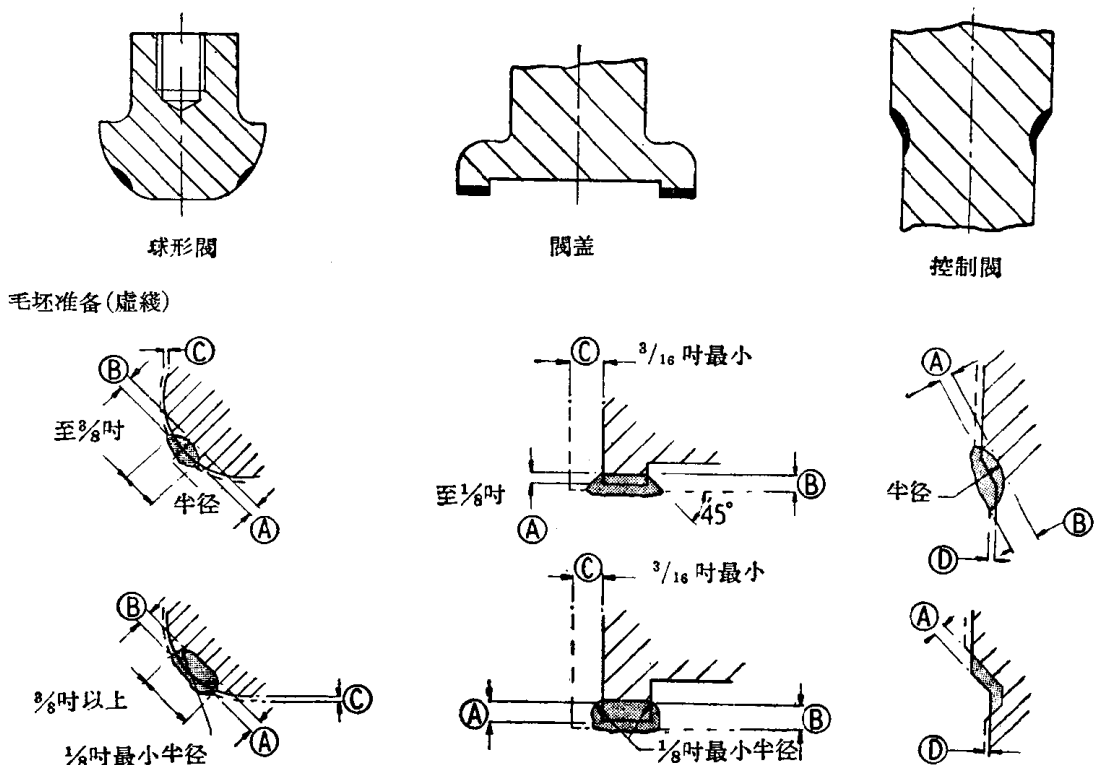


图 2 大型阀的硬质堆焊准备

在外直徑上堆焊：

例：

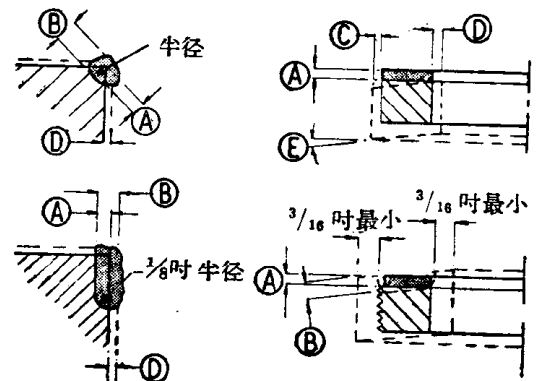
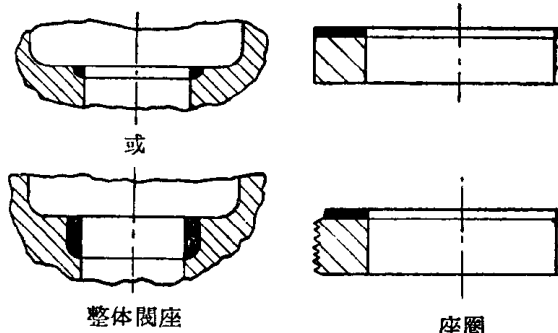


設 計 尺 寸	直徑至 6 吋	直徑 6~12 吋	直徑 12 吋以上
A. 硬质堆焊层的精加工厚度	$\frac{3}{32}$ 吋	$\frac{1}{8}$ 吋	$\frac{5}{32}$ 吋
B. 毛坯凹槽的深度	$\frac{1}{8} \sim \frac{5}{32}$ 吋	$\frac{3}{16} \sim \frac{7}{32}$ 吋	$\frac{1}{4}$ 吋
C. 收縮、氧化皮和变形的容差	$\frac{1}{32} \sim \frac{1}{16}$ 吋	$\frac{1}{16} \sim \frac{3}{32}$ 吋	$\frac{3}{32}$ 吋起

在孔中和在閥座上的堆焊层：

例：

毛坯准备(虛線)



設 計 尺 寸	直徑至 6 吋	直徑 6~12 吋	直徑 12 吋以上
A, 硬质堆焊层的精加工厚度	$\frac{3}{32}$ 吋	$\frac{1}{8}$ 吋	$\frac{5}{32}$ 吋
B, 毛坯凹槽的深	$\frac{1}{8} \sim \frac{5}{32}$ 吋	$\frac{3}{16} \sim \frac{7}{32}$ 吋	$\frac{1}{4}$ 吋
C, 外徑的收縮、氧化皮和变形的容差	$\frac{1}{16} \sim \frac{1}{8}$ 吋	$\frac{1}{8} \sim \frac{3}{16}$ 吋	$\frac{3}{16}$ 吋起
D, 孔中的收縮、氧化皮和变形的容差	$\frac{1}{32} \sim \frac{1}{16}$ 吋	$\frac{1}{16} \sim \frac{3}{32}$ 吋	$\frac{3}{32}$ 吋起
E, 补偿毛坯凹变形的角度	$0 \sim 11\frac{1}{2}^\circ$	$11\frac{1}{2} \sim 30^\circ$	3°

图 3 不同形式的閥和閥座的硬质堆焊准备

堆 焊

鈷基堆焊合金(維氏硬度 400)普遍用于蒸汽閥門,为了获得合金成分的全部性质,必須采用使其与基体金属的相互渗合度最小的堆焊方法。因此绝大部分用氧炔焰钎焊方法;在焊炬火焰中的过剩乙炔对鋼的表面层加入碳分,使它在与硬质堆焊合金熔点相接近的低温度下熔化(出汗)。熔化的硬质堆焊合金将这个熔化鋼的薄层熔解,两者之間的最后结合成一条直线,而沒有相互混合(見图 7, a)。硬质堆焊层中的渗铁量一般小于 5%。

如果需要,可以采用氩弧焊方法作双层堆焊,以获得沒有基体金属冲淡的操作表面。同样在某些实例中采用金属电弧堆焊。

焊后热处理

溫度到 400°C 的蒸汽閥門通常由碳鋼制成。由硬质堆焊过程中焊缝收缩所引起的应力能充分的加以去除,即在堆焊后均匀加热到 600~650°C,然后缓冷,这是一个通行工艺,它应该在硬质堆焊操作后经常不变地进行。蒸汽溫度达 400°C 以上的閥門,通常是由合金鋼制成(例如 1/2% Mo, 3/4% Mo-1/4% V, 2 1/4% Cr-1% Mo 等),为了去除应力,以及在运行中保持尺寸稳定性,尤其是在大型组件中,最后要进行单独的去除应力处理。应用奥氏体钢基体金属,在堆焊时有微小的氧化会导致降低收缩应力。这些钢的应力去除需要高温,通常是在堆焊后进行,将组件均匀加热到 850°C,然后缓冷。

試 驗

“方堆焊”的合金用目測作裂縫檢查,然后用碳化物刀具加工(开始用 30 呎/分表面速度,0.01 吋的进刀量和走刀量)。堆焊层和鋼的接合應該差不多成一直線,表明基体鋼的熔化是少的。

裂縫檢查用染料渗透法进行,因为鈷合金是非磁性的。堆焊层用三氯乙烯清理,然后涂布或浸入染料渗透剂。在 30 分钟后将零件清洗、干燥、并用显影粉喷敷。在另一个 30 分钟间隔后,对表明堆焊层疵病的染料痕进行检查。

硬度試驗也可以在堆焊层上进行,其結果應該在維氏硬度 ±50 度內。堆焊层較軟的区域通常是由于渗铁,过分硬的区域是由于渗碳,系由操作者将氧炔焰的内锥体浸入熔化的堆焊层所造成。

其它组件

氧炔焰硬质堆焊法在汽輪机中的最大用途是閥門的堆焊,但是这种工艺同样适用于其它组件,例如蒸汽管道进入栓,閥門軸套和閥杆。

汽輪机制动閥和紧急事故閥必須在任何时间內自由操作,因而閥座和閥杆表面都要进行硬质堆焊,图 4 示出一种典型閥,已由氧炔焰堆焊維氏硬度 400 的鈷合金堆焊层。用上述預热和操作工艺,首先将头部的閥座堆焊,然后将閥杆在水平位置作硬质堆焊。但如图 4 所示,在閥杆中部的一个短段是不堆焊的,以便采用毛坯的原来表面作为基准以檢查平直度。如果需要,将閥杆校直,而在去除应力后,作校驗机械加工,接着进行填补空出部分的硬质堆焊操作。最后的应力去除可以将閥杆在垂直位置中进行。

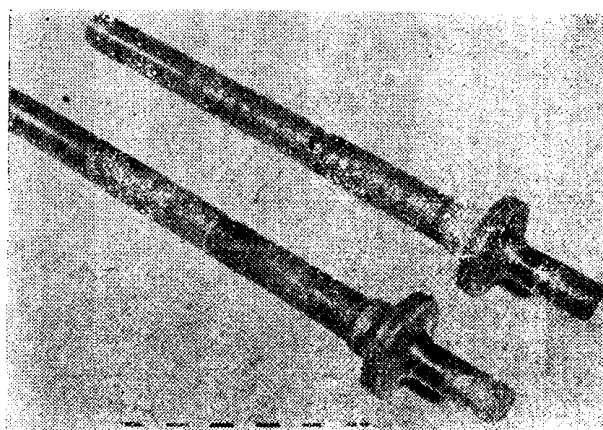


图 4 閥門用氧炔焰在閥座和閥杆上的硬质堆焊

閥杆軸套內表面的防护是由硬质堆焊孔的內徑而取得。用氧炔焰焊接法从每端堆焊孔的內表面至 4~6 倍直徑的长度;鑄造的軸套也可以采用。

閥杆的噴熔

采用噴熔过程加工閥杆是最近的发展。

图 5 示出与閥的头部成整体的典型閥杆。由于在閥座上需要堆焊鈷基合金,如前所述,要用氧炔焰堆焊和作校驗机械加工,接着进行去除应力处理。在这个阶段时杆徑尺寸裕量放得相当大,以允許任何变形,而现在作机械加工以便噴熔堆焊。

紧接在噴砂之后,用一般噴鍍枪将硬质堆焊合金噴鍍到温热的旋转閥杆上,然后在整个噴鍍长度上用适当长的煤气焰炬均匀加热到大約 800°C。用氧炔焰炬加热局部表面温度約为 1,170°C 的最后熔合,在组件中不会形成急驟的温度梯度,组件仍在旋

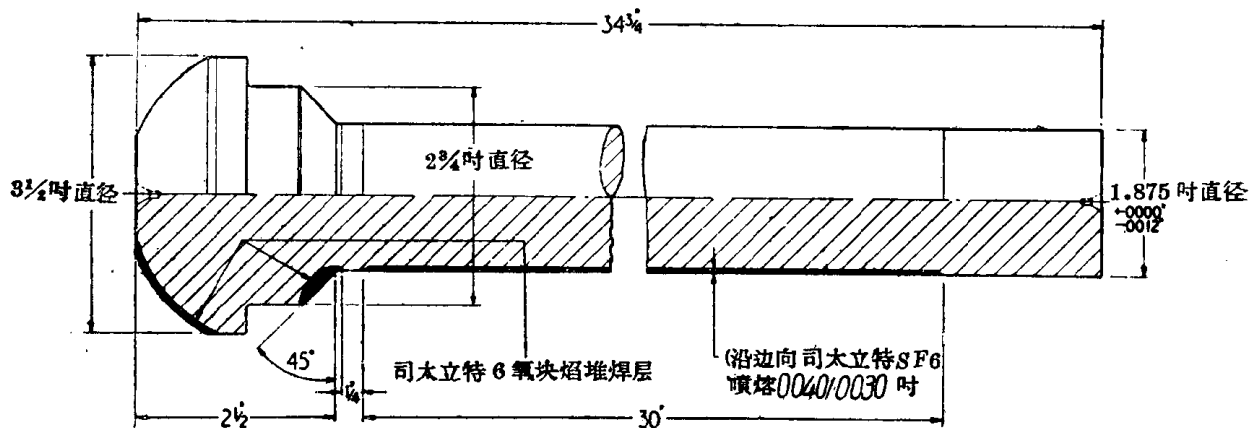


图 5 阀門用氧炔焰在閥座上作硬质堆焊和在閥杆上用噴熔法堆焊

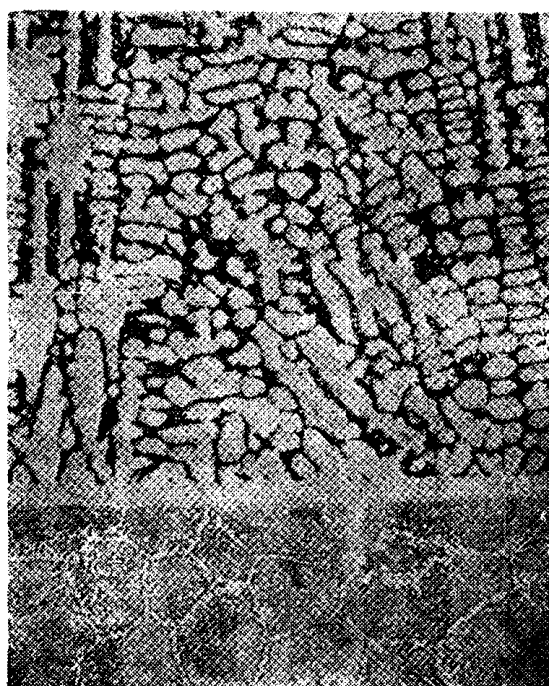
轉時(图 6)从大約 800°C 的均匀温度接着緩冷, 然后进行必須的校直。并在垂直位置进行閥杆的最后应力去除处理, 以获得最大的尺寸稳定性。



图 6 噴鍍后熔合的閥杆

与氧炔焰堆焊相比較, 噴熔法的应力較少, 而用这个方法形成的低应力特点和均匀的薄堆焊层使它对軸和軸套是非常适用的。該法的局限性是在很短的持续時間內需将局部表面加热到 1,170°C, 不然会使氧化恶化或者使熔合受到阻碍。

在图 7 中示出用氧炔焰和噴熔法堆焊組織和結合的比較。用釺焊法的氧炔焰堆焊几乎并不造成任何基体金属的熔化, 而这种熔化在噴熔中是完全沒有的(在放大倍数中不均匀的連接綫是由噴鍍前噴砂所造成)。噴熔合金含有足够的硼和硅使自身形成熔剂, 并使微粒当加热到显著低于鋼基体金属熔点的熔化温度时彼此联合并与鋼基体金属相互联合。



(a)



(b)

图 7 显微照片

(a) 氧炔焰堆焊的司太立特 6; (b) 在碳鋼上(鋼在下面)噴熔司太立特 SF 6 ($\times 100$)
(下接第 4 頁)

水輪机的不銹鋼堆焊

副島一雄

水輪机的腐蝕和磨損

水輪机腐蝕和磨損的例子，常見的例如熊川第二發电站的2,000瓩混流式水輪机，它是用普通鑄鋼制成的，在运行一年之后其发电效率就降低了10%以上。其次为熊本县的黑川第一發电站的6,300瓩的水斗式水輪机，它也是用普通鑄鋼制成的，由于受到悬浮火山灰的影响，仅6个月的时间，几乎磨損到不能使用的程度。

这两个例子是属于磨損較严重的水輪机。以日本的河流来讲，由于火山灰和泥砂等使水輪机效率降低的問題是无法避免的。

并且，即使是将酸性不强和泥砂較少的清水用来发电，而根据水輪机設計上的不同，一般只能使用2~3年或者4~5年，因产生空化使效率降低而需补焊。至于更換零件次数的增加，则其效率将更要降低。

水輪机和其零件的效率降低原因有下面三种：

- (1) 由于泥砂或其他物质而产生侵蝕；
- (2) 由于酸性水质而产生的腐蝕；
- (3) 由于空化作用而产生的侵蝕和腐蝕。

为了防止上述时常产生的腐蝕与磨損現象，各电站和制造厂都在进行研究对策，侵蝕理論虽已有些闡述，但所得出的結論并不一致，下面就其理論方面略作介紹。

1. 侵蝕

关于泥砂的磨損运藤氏把泥砂作为水中的悬浮物，将各种材料試片放入水中进行攪動試驗，各种材料磨損量的結果值列于表1。

2. 腐蝕

有关由于酸性水质而产生的腐蝕，根据日本东北电力公司的水质調查和对策專門委員会的調查結果，酸性靜水中的金属腐蝕度在多数場合下，是要根据水的pH值、标准单极电位阴极的反应活潑化能量、金属离子的扩散常数和扩散层的厚度来确定。并作了下述概略論斷：

- (1) 銅合金不能用于有害的水中。
- (2) 在靜水中不同质金属的接触腐蝕，流速低时其腐蝕較为严重，而流速高时倒反而不成問題。
- (3) 18-8 鎳鉻鋼的耐腐蝕能力最大，13 鉻鋼在流速很大的場合下較为稳定，但当靜水中pH=4以下时就要腐蝕。
- (4) 3S, 61S 等鋁合金对酸性水的适应能力最强。

金属对于含硫酸、亚硫酸、氯化物的有害水耐蝕能力的强弱一般按下述次序排列，即 19-12 MoCu

表1 水中含有泥砂进行的攪動試驗(运藤氏)

材料名称	主要成分	磨損量
炮铜	Sn 10%, Zn 2%, 其余为 Cu	3.0
磷青铜	Sn 10%, Pb 1.9%, P 0.8%, 其余为 Cu	2.0
銅硅錳合金	Si 3.5%, Mn 1%, 其余为 Cu	2.9
鋁青銅	Al 7%, Si 2%, 其余为 Cu	2.1
炮青銅	Al 10%, Ni 4%, Fe 5%, Mn 0.5%, 其余为 Cu	1.8
軟銅	C 0.1%	2.1
鑄鐵	C 3.2%, Si 1.8%	1.8
13 鉻鋼	—	1.5
18-8 鎳鉻鋼	—	0.7

表2 pH=5, 流速=6米/秒, 有害水质中的腐蝕
(东北电力公司有害水对策委員会)

材 料 名 称	腐 蝕 量
鋁青銅 (Al-Cu)	0.00143
銅錳合金 (Zn-Si-Al-Cu)	0.00113
炮銅 (Sn-Zn-Cu)	0.00100
鋁青銅 (Al-Si-Cu)	0.00084
銅硅錳合金 (Si-Mn-Cu)	0.00073
磷青銅 (Sn-Pb-P-Cu)	0.00068
軟銅	0.02
鑄鐵	0.02
13 鉻鋼	0.00000
18-8 鎳鉻鋼	0.00000

为最强，其次为 19-12 Mo、18-8 钢、13 铬钢、铝青铜、铸钢等。该委员会的试验结果列如表 2。

3. 由于空化作用而产生的侵蚀和腐蚀

有关这方面的理论众说纷纭，现分别介绍如下：

(1) 流体磨损论

所谓空化是指由于流水的直接冲击部分和其内侧表面呈现瞬间真空状态部分所激起的，以及由于水或者空气与表面摩擦而产生的现象而言。

根据日本学术振兴会所进行的干摩擦研究的结果，得出了如下实验公式：

$$WI = K \frac{P}{V^2}$$

W——磨损量

I——材料冲击值

K——常数

P——压力

V——速度

如果象水轮机的流体也能适用的话，则 P, V 将与水头有一定关系，对这样的电站就可以把它作为常数来看待，即 WI=常数，也就是说材料的磨损量与冲击值成反比。

根据这个公式的結果，以普通钢的磨损最甚，其次为铜合金、13 铬钢，18-8 钢，但经过干摩擦的试验表明，利用 18 镍钢制造水轮机的零件耐磨损性并不太好。

(2) 疲劳论

所谓空化现象是由于受到流水或空气的敲击而产生的，因此疲劳强度越高，抗力也愈大，根据斯坦顿的反复敲击试验（表 3）和阿普顿·来威斯的试验（图 1），金属的抗力是以铜合金、软钢、13 铬钢，18-8 铬镍钢顺序增大。

表 3 斯坦顿的敲击次数

锤的 高 度	0.17% O 钢	0.3% O 钢	13 铬 钢	18-8 铬镍钢
0.7 吋	11767	13302	23305~8694	71157~10620
1.5 吋	2509	2875	4523~1289	5142~1946
3.0 吋	—	—	863~107	751~609

(3) 腐蚀论

空化作用使材料表面在水中产生锈层，它经过水流或空气的冲击而剥落下来，这样反复不断的剥落就造成腐蚀。据此可以证明，金属的耐腐蚀能力以软钢、13 铬钢、铜合金、18-8 铬镍钢等顺序而增大。

(4) 实验室试验

假定前面所讲的空化现象，是由于流水或空气的敲击作用下出现的材料疲劳与利用冲击水或超声波的试验值相同条件下，进行了各种材料的试验。试验结果表明，以铸钢的抗力为 1 的话，则其他的比率铸钢为 0.3~1.7，13 铬钢为 3.2，18-8 钢为 4.5~5.2。

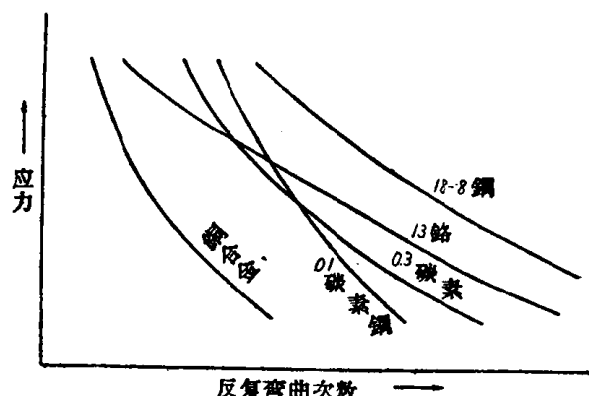


图 1 反复弯曲的疲劳试验 (阿普顿·来威斯)

- 附注：1. 在应力大的情况下，韧性愈高反复弯曲的次数愈多。
2. 在应力小的情况下，弹性极限愈大，反复弯曲次数愈多。

水轮机修复时堆焊材料的选择

上述理论在试验过程中未必获得完全相同的結果，但一般可以这样认为，18-8 铬镍钢和 13 铬钢等的磨损、腐蚀和空化作用的产生是和金属各抗力有关的，因此，进行水轮机的修复堆焊时应根据各种材料的条件作适当的选择。

目前所采用的铸钢叶轮和其他水轮机零件的焊接修补，多半采用 D316 系焊条，也采用一部分 D309、D310 和高锰不锈钢焊条。此类堆焊焊条的选择除了必须注意抗力之外，还必须考虑到可焊性和经济效果。

目前各电站所采用堆焊各种材料的焊条主要有下面几种。

1. 铸钢制的水轮机

如前所述，用于堆焊的焊条大部分是 D316 焊条，其可焊性、机械加工性能和使用效果都令人十分满意。如把 D310 焊条和 19-9 Mn 钢所进行的堆焊作一比较，前者成本比较低，但其耐久性尚未得到证实。据说，目前九州电力公司正在进行比较试验，但是预料也不会有什么差别。

也有采用 13 铬钢焊条进行焊接的一些例子，証

明其可焊性和机械加工性都較差，并有裂紋产生，一般都不常采用，而这种焊条很多应用于 13 鉻鑄鋼叶輪和衬套等制造过程的修补中。

由于不鏽鋼焊条的发展，近来国外已采用能析出耐腐蚀硬化物的焊条，而日本尚处于試驗阶段。

2. 銅合金制的水輪机零件

酸性水质的地方从前大多采用銅合金制的叶輪，所用材料多以炮銅、磷青銅为主，而国外则用鋁青銅，但近来多半用 13 鉻鋼、18-S 鋼来堆焊修复旧有的銅合金制叶輪。

此类銅合金制的水輪机的修复用焊条，一般应使用与其本身相同的材料，但从可焊性考虑，應該认为 D 銅-鋁系焊条材料則更适用于任何性质的材料。同时，根据使用者的不同要求，也有采用 D 銅-硅，和 D 銅-錫系的。

3. 13 鉻不鏽鋼制的水輪机零件

13 鉻鋼不論用于清水或是酸性水的地方都是比較好的，并且它的耐腐蚀性較强，因此，最近各处都采用这种材料。但如众所周知，这种材料的可焊性較差，所以現場在焊补工作中不是用同质焊条而是用 D309 和 D316 系的奥氏体不鏽鋼用的焊条，但这对热影响区域的硬化是不可避免的。此外，13 鉻鋼因其热处理和由于添加元素之故而使耐腐蚀性显然不同，因此在实际应用上未必可以获得良好的效果。

以上除銅合金制水輪机以外，几乎全部采用奥氏体系不鏽鋼焊条，尤其是，因成本关系大多采用 D316 系焊条。

堆焊修复上的問題

焊条的选择已作叙述，但堆焊时的焊接变形是一个很重要的問題。虽然这种变形經矯正后可以达到与新制时同样的性能，但如果不予矯正而直接使用的話，在运行中将会产生损坏而造成重大的事故，

因此，在焊接时必須遵守焊接程序和采取多层堆焊方法，以防止产生变形。

为了使叶輪达到平衡，要在堆焊后把外徑变形部分进行切削加工掉，然后套装新的衬套或者再利用堆焊法使其成形。在叶根部分，则应在与产生变形相对称的位置加热，随后进行切削来进行調整。

其次存在的問題是用研磨机床进行修整，由于不鏽鋼是一种非常富有粘性的材料，因此磨削加工的时间需要很长，并且磨石的磨损也很严重，因此如用切削則效果較高。

此外，堆焊金属和基体金属虽然也存在着裂紋和气孔等缺陷，如若遵守焊接技术所應該注意的工艺事項一般就可以解决。

水輪机零件堆焊修复的經濟效果

叶輪，导水瓣等水輪机零件的堆焊修复时，首先必須从其耐久性能考慮，但也必須考慮到經濟上是否合理。为了證明經濟上是否合理，这可举某发电厂在 1954 年所作导水瓣的堆焊修补的比較試驗結果的例子來說明。

試驗是把 1,200 瓩发电机上已經磨损的导水瓣，从其标准尺寸切削去 2 毫米，然后应用各种不同的焊条进行了堆焊或鍍鉻，并經約 7,821 小时的运行后，作了实况檢查，最后推算出各种堆焊件的使用年限。

进行試驗的河流，从 4 月到 6 月是丰水期，在这一期間反而比枯水期时的流砂严重，从 7 月到 10 月期間从上游进行了两次貯水池的泥砂流放，在这一期間約有 10 天流砂特別多，因此，导水瓣磨损很严重，水质为 pH 7.1，几乎并末腐蝕。

表 4 所載是直接堆焊所需的費用，导水瓣的拆卸和更換費用除了上述費用之外还要包括人工費、各种材料費以及約七天的停电費用，共計 540,064 日元。

表 4 导水瓣堆焊修复的費用比較 (1954 年)

	导水瓣材料費	焊条用量和費用	焊接和加工費用	合 計	耐用年数	各 注
新 品	1,800 日元×18 块	—	—	324,000 日元	4 年	实际調查
軟 鋼 堆 焊 (D4301)	100 日元×18 块	11 公斤×130 日元	37 小时×70 日元×18 块	74,160 日元	3 年	实际調查
不鏽鋼堆焊 (D-316)	100 日元×18 块	10 公斤×1,000 日元	35 小时×70 日元×18 块	225,900 日元	8 年	根据三年的磨损情況折算
軟 鋼 堆 焊 后 鍍 鉻	100 日元×18 块	11 公斤×130 日元	37 小时×70 日元×18 块外加鍍鉻費 1,000 日元×18 块	92,160 日元	4.5 年	根据一年的磨损情況折算

因此，如用 D316 焊条修补的导水瓣其使用年限以 8 年为标准的話，新的制品就要在 4 年內更换一次，因此，一年的消耗費用为 148,508 日元，利用 D4301 焊条时为 159,763 日元，利用 D316 焊条时为 28,237 日元。而用 D4031 堆焊后鍍鉻时則为 87,988 日元。結果証明其中以 D316 的堆焊最为經濟。

前面虽只是举导水瓣为例，但这一計算如果合理而可靠的話，則在水輪机堆焊修补时对于耐腐蝕、耐侵蝕以及耐空化的抗力最强的鉻鎳系不銹鋼，不論在經濟合理性、或者是耐久性方面都是最好的。

水輪机零件的堆焊工艺

如前面所述，水輪机零件由于堆焊延长了使用寿命，如对不耐久的易磨損的补焊修复以及水輪机零机上磨損較剧烈的部分預先进行堆焊，那么，不但可以保持其应有的效率，并且零件的可靠性也有很大的提高，因此水輪机零件施行堆焊非常有利。

表 5 所載为水輪机零件材料和适用于堆焊的焊条。在堆焊时，如果遵照一般焊接所应注意的要求进行，就必然会获得良好的結果，因此这里就不再贅述了。

表 5 水輪机零件材料和堆焊焊条

零件名称	材 料	焊 条 种 类		备 注
		电 弧 焊	气 焊	
导 水 瓣	鑄 鋼	D316	—	基体金属过于污垢时，应采用 DFC Fe 进行打底焊
	13 鉻 鑄 鋼	D309, D310	—	
	鉻 鎳 不 錫 鋼	D316, E309 Mo	—	
套 管	鑄 鐵	DFC Ni, DFC Fe	—	基体金属过于污垢时，应采用 DFC Fe 进行打底焊
通 风 管	鑄 鐵	DFCNi Fe	—	
	鑄 鐵	D316, E309 Mo	—	
衬 套	鑄 鐵	DFC Ni	鑄 鐵 線	气焊时应进行预热
	鑄 鐵	E7016	—	
	13 鉻 鋼	D309	—	
	銅 合 金	D Cu-Al	特殊黃銅	
戽 斗	鑄 鋼	D316	—	軟鋼堆焊时用 D4316 气焊时变形較大
	不 錫 鋼	D316, E309 Mo	—	
	銅 合 金	DCu-Al	特殊黃銅	
轉 子 閥 (閥座面)	鑄 鐵	OFC Ni, DFC Ni Fe	—	蒙乃尔合金用焊条
	鑄 鋼	E4 N10	—	

延长寿命和修复用的不銹鋼堆焊

以往的水輪机几乎都是用普通鑄鋼制造的，但由于水质的酸性，空化作用以及由于悬浮泥砂而引起的腐蝕和磨損，因此逐漸采用 13 鉻鋼、18-8 不銹鋼等材料，此外，对于鑄鋼制水輪机使用寿命的延长

和磨損零件的修复，采用不銹鋼进行堆焊是最为良好的，其每年所需的修复費用也最省，而且使水輪机的运行时间大大地提高。

(侯立生譯 黃學成校)
自《焊接技术》No. 11, 1962, 29~33 頁

堆焊修复内燃机的气缸衬套

П. М. Иевлев 等

在熔剂下沿螺旋线的电弧堆焊特点是生产率高，堆焊金属的质量好，自动化工作简单和可以采用普通流行的焊接设备。

根据未經試驗的推測，在該法中热規范会有损于修复零件的工作表面的使用性能，因此修理企业就放弃了在熔剂下的堆焊。

例如，在熔剂下堆焊 3Д6、3Д12 内燃机的气缸衬套配合凸緣的外表面会引起内部氮化表面的受热，由于伴随着硬度的降低，氮化层的組織得到可能的改变，而这种情况被认为是不允许的。

因为耽心衬套有过大的变形，往往就不采用在熔剂下的堆焊。

从事修理发动机企业采用价貴的由 38 XMIOA 号鋼制成的新衬套来替换磨损的衬套，或者采用振动电弧堆焊来修复凸緣。

大家知道，振动电弧堆焊和在熔剂下的堆焊相比较具有一系列的重大缺点：生产率低、零件在堆焊后机械加工的复杂性、堆焊金属的质量差以及在堆焊金属中存在应力集中（宏观和微观裂紋、气孔、未熔化、气泡等）。

由于这些原因，就有必要对气缸衬套在熔剂下的堆焊过程进行研究，使取得良好的結果，以便推荐它来代替振动电弧堆焊。

在研究中提出了如下任务：在凸緣上堆焊时，研究衬套工作表面上金属氮化层的热循环；确定受热对工作面层组织和硬度的影响；以及测定堆焊对衬套直徑改变的影响。

上述研究取得了良好的結果。在图 1a 上表示从外面堆焊下部凸緣时，衬套內表面上各点的热循环曲綫。温度的測量系采用鉻鎳-鋁鎳的热电偶(T_1 和 T_2)来进行并用 CP-5 示波器来测定。由图可見，最高温度在堆焊結束处 (T_2) 达到 700°C 。

• 金属超过 600°C 的持续受热可以使氮化物离解和硬度改变，这种持续受热不超过 $35\sim40$ 秒（图 1b）。那样的热循环正为以后研究所証实，不可能对氮化层的性能发生任何影响。在衬套的所有工作部

分内的表面硬度几乎都是一样的（图 2），与热影响无关。

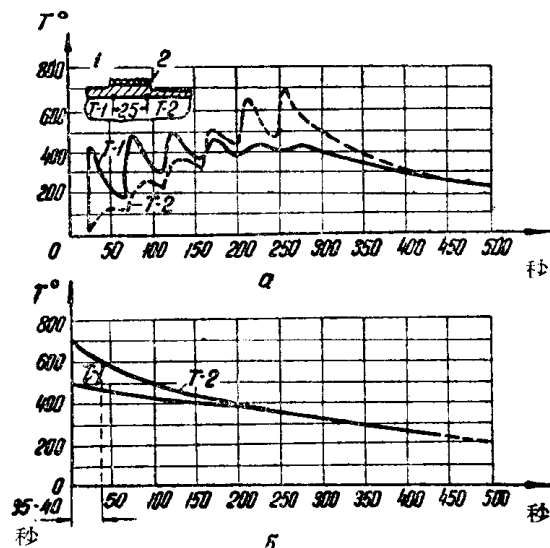


图 1 在熔剂下堆焊下部配合凸緣时，在气缸衬套內部(工作)表面上氮化层的热循环
1—第一道焊波； 2—第六道焊波

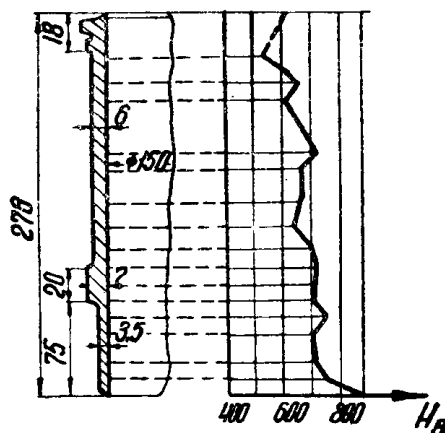


图 2 从外面堆焊下部配合凸緣后，气缸衬套的内部表面上硬度分布

在发动机工作过程中，在未經受活塞磨損影响的内部表面区段內金属的硬度是最高的 ($H_V 890$)，并且它和使用前存在于整个衬套高度方向上，且仍完全保留的氮化层原始硬度相符合。

在熔剂下的堆焊和振动电弧堆焊对衬套直徑改变的影响可用下列数据来确定。带凸緣的衬套用振动电弧堆焊后，在凸緣区域内的直徑平均减少0.124毫米（按五个試驗衬套的平均值）。在熔剂下堆焊时，直徑的減小平均为 0.117 毫米。

試驗衬套的堆焊規范如下。振动电弧堆焊：电流—200 安，电压—20 伏，衬套的轉速—3.75 轉/分，堆焊节距—2 毫米/轉，采用水流进給到电弧区域来冷却；在熔剂下的堆焊：焊接电流=100 安，电弧电压=23 伏，衬套的轉速—1.5 轉/分，节距—5 毫米/轉，自然冷却。

实际上，振动电弧堆焊象在熔剂下的堆焊时那样，会引起衬套直徑的改变，这是由一系列因素所决定的。

可以設想，在振动电弧堆焊时的因素之一是用水流强烈冷却的狭区带的集中受热；这就引起了和金属比容的改变相联系在一起的組織轉变。堆焊时所形成塑性区域的纵向和横向收縮会引起剩余焊接变形，金属比容的减小会导致衬套直徑的改变，这可

（上接第 26 頁）

軋輶的寿命，关于用各种方法堆焊的軋輶寿命比較数据(見表 3)表明，在 JKС-450 熔剂下堆焊的軋輶寿命，并不次于用 ППЗХ2В8 管状焊条和 ЭИ701 合金鋼焊絲堆焊的軋輶寿命。經過堆焊的軋輶寿命提高到未經堆焊的軋輶寿命的 2 倍多。堆焊的生产率，采用直徑为 3.5 毫米的管状焊条提高堆焊生产率的可能性受着焊接电流的增大所限制。如焊絲牌号的說明书所規定，实际上电流不超过 350 安，因此当堆焊金属为 84 公斤时，堆焊軋輶的机动時間約需 22 小时。

在陶质熔剂下堆焊时，堆焊电流只受軋輶直徑的限制，其数值为 500~550 安。由于电流值的增加和用 JKС-450 熔剂时堆焊系数高，这就使堆焊生产率提高到 2~2.5 倍。一根軋輶的堆焊時間由 22 小时縮短到 9.6 小时。考慮到裝夹、預热等的輔助时

以和在熔剂下的堆焊时发生的改变相比拟。

金相試驗表明，需修复的衬套只有消失少量的氮化层。同时，在熔剂下堆焊凸緣后，金属的組織并不发生显著的变化。

結 論

1. 在熔剂下堆焊时的热循环对經過使用而修复的气缸衬套內部工作表面的金属組織和硬度并不引起变化。

2. 在熔剂下的堆焊会和振动电弧焊时一样，引起衬套直徑的局部減小。

3. 在熔剂下堆焊的焊层质量比振动电弧焊时要高。

4. 任何从事修理发动机的企业可以不需特种设备，采用在熔剂下的自动堆焊。当修复內燃机的气缸衬套和其他圓筒零件时，在熔剂下的自动堆焊方法是值得推荐的。

（張柏年譯）

自《Автоматическая сварка》，No. 4, 1962, 82~84 頁

間，在两种情况下需 6 小时，于是生产率提高到 1.8 倍。

在 Енакиевский 冶金工厂堆焊軋輶試驗的基础上，可以得到下列的結論：

1. 以 ППЗХ2В8 管状焊条，ЭИ701 合金鋼焊絲和在 JKС-450 陶质熔剂下堆焊，可保証軋輶寿命提高到 2 倍多。

2. 采用陶质熔剂可以降低堆焊材料消耗，相当于采用 ППЗХ2В8 管状焊条时的 0.22。

3. 在陶质熔剂下堆焊生产率为 ППЗХ2В8 管状焊条堆焊生产率的 1.5~2 倍。

4. 在陶质熔剂下进行堆焊的方法是简单的，方便的，不需耗用貴重的材料，因而可以推荐在其他工厂中广泛应用。

（宋宝和譯 張柏年校）

自《Сварочное производство》，No. 7, 1960, 24~26 頁

履帶拖拉机支撑輥軸的自動耐磨堆焊

A. Ф. Чечель

堆焊是修复拖拉机和农业机械磨损零件的主要工艺过程之一。目前，堆焊大多是用手工方法来完成。但近年来在修理性的生产中开始广泛采用自动堆焊法。

为了堆焊拖拉机的支撑輥軸、拉紧輪和其他易磨损的零件，推荐采用合金焊絲或者应用特种熔剂的普通碳鋼焊絲来进行堆焊。

在拖拉机修理站修理工場中，由于沒有合金焊絲和特种熔剂，这些自动堆焊法还未得到广泛的实际应用。

在自动堆焊时，堆焊金属的合金化可用更加简单的方法来实现：即向熔剂层下連續进給鑄鐵屑和铁合金組成的合金粉末混合料的方法。

过程按图1所示的簡图来实现的。

由料斗向堆焊零件表面用剂量机构进給的合金混合料以熔剂层复蓋着。在电弧中，混合料进行熔化并使由Cb-08电焊絲堆焊的金属合金化。

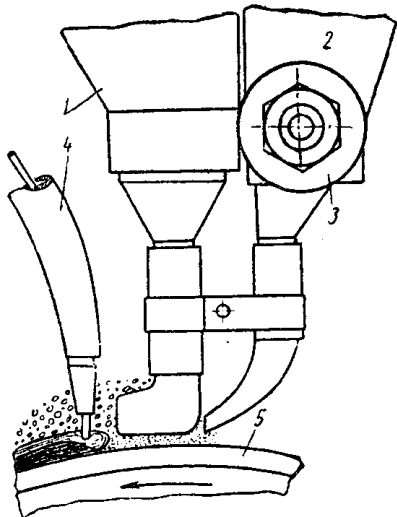


图1 向熔剂层下进給合金混合料的自动堆焊簡图

1—熔剂料斗； 2—混合料斗； 3—計量箱；
4—电焊条头嘴； 5—堆焊零件

粉末混合料的均匀进給是用剂量机构来实现的，其结构示于图2。

在蜗杆旋转时，混合料自料斗经过接料口进到

腔内，并从那里经过出口缝隙和混合料导管送到零件表面。

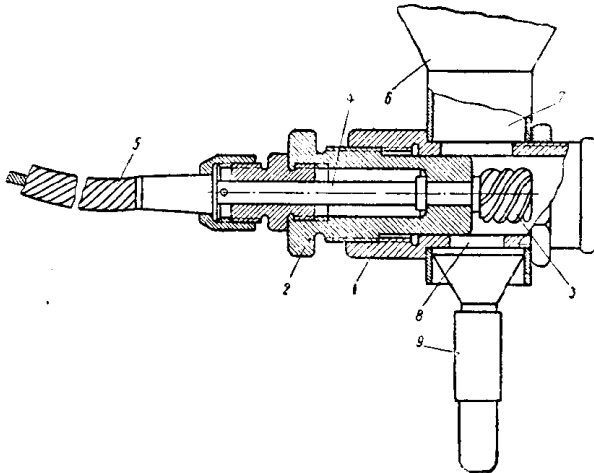


图2 剂量机构

1—計量箱体； 2—調節套管； 3—蜗杆； 4—蜗杆小軸； 5—軟軸； 6—合金混合料斗； 7—接料口； 8—出口縫隙； 9—混合料的導管

上述合金化的堆焊法在自动堆焊履帶式拖拉机的支撑輥軸时，实际上已經实现并为尔沃夫地区拖拉机修理站修理工場成功地应用着。

在汽車拖拉机发动机气缸的搪孔时所得到的鉻鎳鑄鐵細鐵屑，可以用来作堆焊支撑輥軸时的合金混合料。向熔剂层供給的鑄鐵屑数量系由堆焊金属中得到0.8~1.0%含碳量来計算的，鑄鐵屑的数量是占电焊絲重量的25~30%。所需75%—錳鐵的数量是由堆焊金属中得到接近8~10%的含錳量来計算的，而占着堆焊金属重量10~13%的75%—錳鐵需加添到鐵屑中。

应用計量箱向熔剂层下机械进給合金混合料，可以使堆焊金属得到比較均匀的組織和机械性能。

鉻鎳鑄鐵屑的加添会显著增大堆焊层的硬度（見附表）。堆焊金属是托氏体—馬氏体的大型針状組織。

加添錳鐵占电焊絲重量10~13%会使托氏体—馬氏体具有很大的分散性。